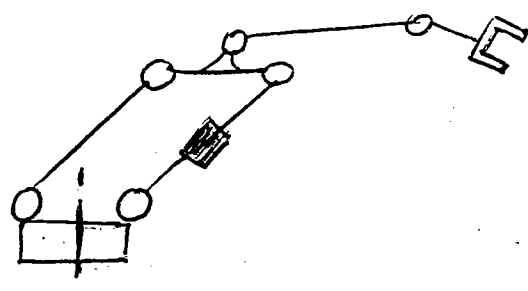
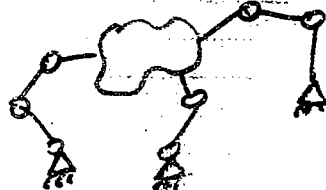


Descrizione Geometrica - Catene Chiuse

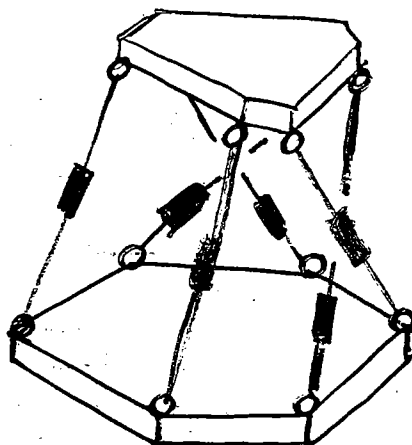
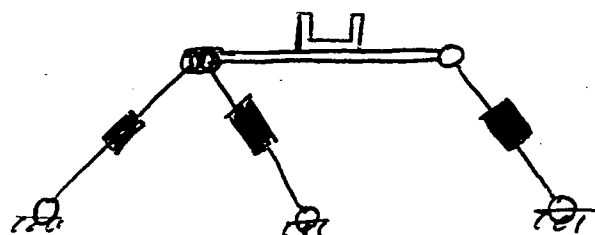
1

- Bracci con strutture cinematiche miste

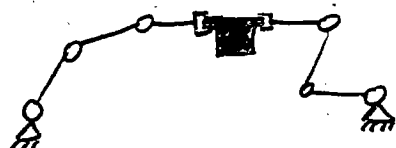
- Mani per robot



- Manipolatori paralleli



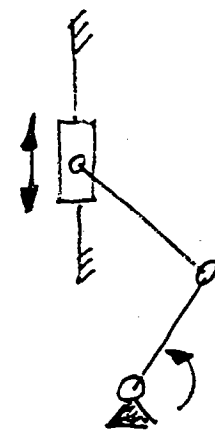
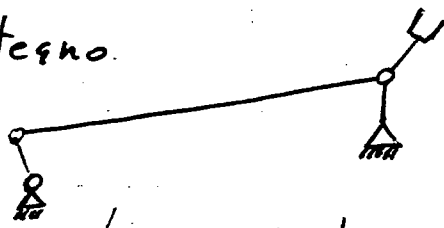
- Bracci cooperanti



- Veicoli su gambe

- Meccanismi per l'autonomia

- Bracci con sostegno



Caratteristica principale:

le configurazioni dei giunti non possono essere assegnate arbitrariamente - esistono vincoli
non tutti i giunti sono attuati, né tutti sono sensorizzati

Si dice variabile di configurazione, o brevemente configurazione di un sistema meccanico, una m-upla di valori sufficienti a individuare univocamente la posizione e l'orientazione di tutti i corpi rigidi che lo compongono - e quindi, a determinare la posizione di qualsiasi punto materiale del meccanismo.

Si dice minima una configurazione se non esiste alcun insieme di meno di m scalari che sia una configurazione. In tale caso, il numero minimo m di variabili necessarie a determinare il meccanismo si dice numero di configurazioni indipendenti (o meglio, dimensione dello spazio delle configurazioni indipendenti).

Il valore di m in un meccanismo può essere calcolato facilmente per almeno in configurazioni generali (cioè, eccetto al più configurazioni singolari la cui misura, nello spazio delle configurazioni è nulla). Si applicano infatti le formule

$$\left\{ \begin{array}{l} \underline{m} = 3(n^{\circ} \text{ corpi rigidi}) - 2(n^{\circ} \text{ giunti Rot. o Prism.}) \\ \text{nel caso planare, ovvero} \\ \underline{m} = 6(n^{\circ} \text{ corpi rigid}) - 5(n^{\circ} \text{ giunti R.P.}) - 3(n^{\circ} \text{ giunti sferici}) \\ \text{nel caso 3D} \end{array} \right.$$

Per considerazioni ovvie di risparmio, si ha spesso $N_A = N_S = M$. Se $N_A > M$, si ha ridondanza di attuatori (vale l'analogo se $N_A < M$ il sistema è sottoattuato).

Come nel caso delle catene cinematiche, operate, individuiamo un elemento di riferimento che chiameremo convenzionalmente come end-effector

- Configurazioni dell'end-effector $\mathbf{x} \in SE(3)$ dove le coordinate di $SE(3)$ saranno da scegliere secondo le opportunità.
- Configurazioni dei giunti $\mathbf{q} \in \mathbb{R}^n$ (localmente).

Sarà però spesso difficile distinguere giunti attuati e non, sensorizzati e non:

$$\begin{cases} \mathbf{q}_A \in \mathbb{R}^{n_A}, & \mathbf{q}_A = S_A \mathbf{q}; \\ \mathbf{q}_{\bar{A}} \in \mathbb{R}^{n_{\bar{A}}}, & \mathbf{q}_{\bar{A}} = S_{\bar{A}} \mathbf{q}, \quad n_A + n_{\bar{A}} = n \end{cases}$$

dove $S_A \in \mathbb{R}^{n_A \times n}$ ha elementi $\in \{0, 1\}$

e $\begin{bmatrix} S_A \\ S_{\bar{A}} \end{bmatrix}$ è una matrice di permutazione

Analogamente per giunti sensorizzati e non:

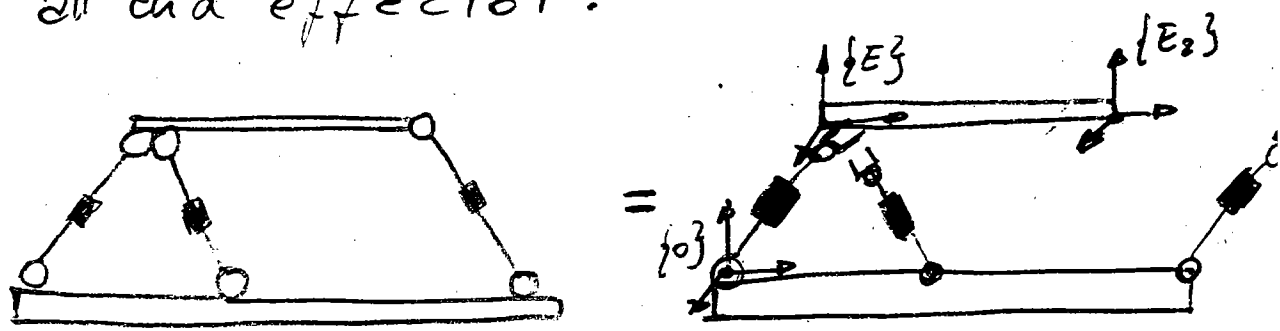
$$\begin{cases} \mathbf{q}_S \in \mathbb{R}^{n_S}, & \mathbf{q}_S = S_S \mathbf{q}, \quad S_S \in \mathbb{R}^{n_S \times n} \\ \mathbf{q}_{\bar{S}} \in \mathbb{R}^{n-n_S}, & \mathbf{q}_{\bar{S}} = S_{\bar{S}} \mathbf{q}, \end{cases}$$

I problemi geometrico diretto e inverso
hanno la stessa formulazione che nei manipolatori seriali:

$$\text{diretto: } X = f(q)$$

$$\text{inverso: } q = f^{-1}(X)$$

- Il pb. inverso parallelo equivale a N pb. inversi seriali, dove N è il numero di "gambe" semplici (seriali) che uniscono la base all'end effector:



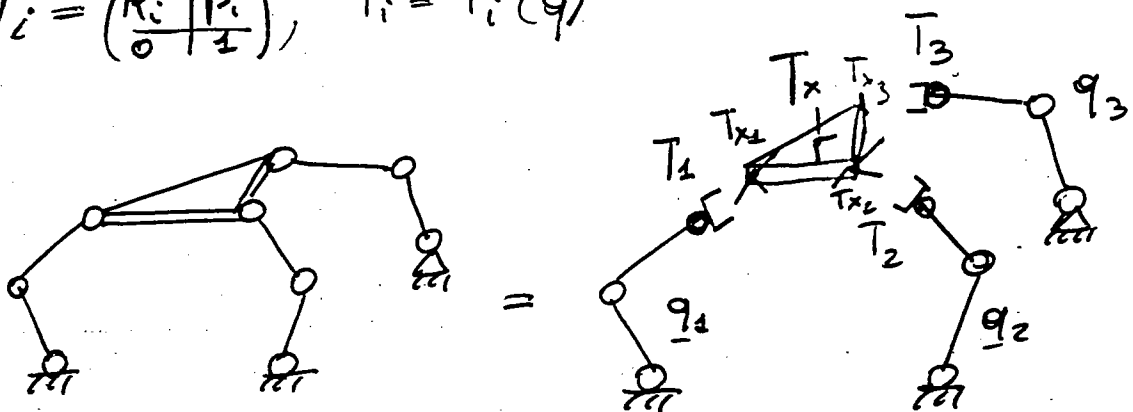
- Il pb. diretto parallelo consiste in N problemi diretti sulle catene semplici: Ogni gamba fornisce una config. dell'end-effector: vi sono quindi $N-1$ gruppi di 6 e.g. vincolari da rispettare. Le cose possono complicarsi per l'esistenza di giunti \bar{s}, \bar{A}
- Pb. Inverso: data X , trovare q_A che porti l'ee in X . Questo pb. non è difficile, in quanto ho m geometri seriali inversi di tipo semplice; da queste soluzioni, mi basta estrarre q_A .
- Pb. Diretto: data q_S , trovare X . Questo è invece potenzialmente molto complesso, e non esistono in generale soluz. in forma chi-

Geometria delle catene chiuse

Consideriamo un sistema parallelo le cui configurazioni sono descritte da un vettore q di coordinate dei giunti (eventualmente suddiviso in coordinate attuate e non, sensorizzate e non: $q_{AS}, q_{AS}, \dot{q}_{AS}, \ddot{q}_{AS}$), e dalle coordinate X dell'end-effector

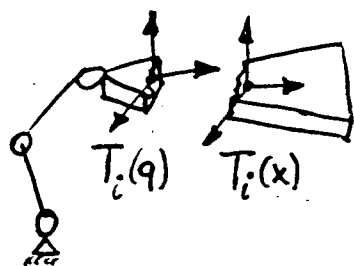
Scegliamo ad esempio per rappresentare X la trasformazione omogenea $T_E = \begin{pmatrix} R_E & | p_E \\ 0 & 1 \end{pmatrix}$ in un riferimento di base

Si supponga per semplicità che l'end-effector sia scelto come un elemento del meccanismo tale che, se esso viene rimosso, il meccanismo si riduce ad un insieme di N catene semplici. A ciascuna di esse si può associare una cinematica diretta che mette in relazione le configurazioni di alcuni giunti con quelle dell'elemento terminale della catena i -esima, ovvero $T_i = \begin{pmatrix} R_i & | p_i \\ 0 & 1 \end{pmatrix}$, $T_i = T_i(q)$



Si definiscono inoltre sull'end-effector oltre N terne $T_i(x)$ di riferimento, nelle posizioni e con le orientazioni corrispondenti a quelle degli elementi terminali delle catene.

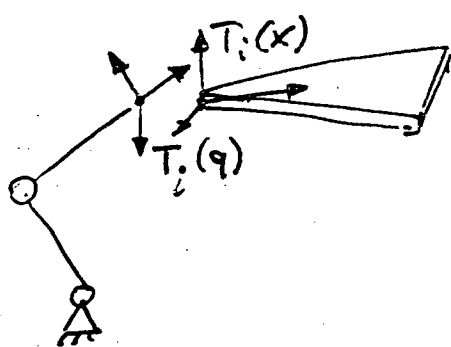
In altri termini, le terne $T_i(q_i)$ e $T_i(x)$ coincidono ma sono pensate come solidali rispettivamente alla catena i -esima ed all'oggetto-end effector.



Imporre $T_i(q) = T_i(x)$ equivale a imporre 6 equazioni di vincolo tra le configurazioni q e x .

Si noti che spesso è più conveniente definire le terne della "gamba" e dell'oggetto in modo da ridurre il numero di equazioni di vincolo.

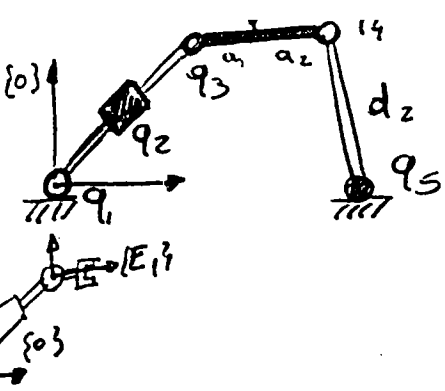
Ad esempio, effettuando il "taglio" della catena al livello dei giunti, si può eliminare un giunto per gamba (riducendo così la complessità cinematica) e scrivere un insieme di equazioni vincolari pari a 6 meno i gradi di libertà lasciati dal giunto.



Ad esempio in questo caso, se il giunto rimosso è sferico, basterà imporre che l'origine di $T_i(q)$ e quella di $T_i(x)$ coincidano (3 equazioni di vincolo).

Se il giunto è rotoidale, con asse corrispondente all'asse z delle terne T_i , si dovrà imporre l'egualanza delle origini (3 eq., ultime colonne delle T_i) e dei versori dell'asse z (2 eq., terza colonna delle T_i ; + 1 eq. è inutile per via della normalizzazione dei versori in R).

Esempio



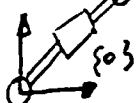
$$n = 5$$

$$m = 3 \cdot 4 - 2 \cdot 5 = 2$$

$$n_A = n_S = m$$

$$S_A = S_S = \begin{pmatrix} 0 & \pm & 0 & 0 & 0 \\ 0 & 0 & 0 & 0 & 1 \end{pmatrix}$$

Prima gamba:



$$\overset{\circ}{A}_1 = R_0 t(q_1) T_{\text{base}}(x, q_2) R_{\text{rot}}(q_3) = \begin{pmatrix} C_{13} & -S_{13} & q_2 C_1 \\ S_{13} & C_{13} & q_2 S_1 \\ 0 & 0 & 1 \end{pmatrix}$$

Seconda gamba



$$\overset{\circ}{A}_2 = T_2(x, D) R(q_5) T_2(x, d_2) R_{\text{rot}}(q_4) = \begin{pmatrix} C_{45} & -S_{45} & D + d_2 C_5 \\ S_{45} & C_{45} & d_2 S_5 \\ 0 & 0 & 1 \end{pmatrix}$$

End-effector

$$\begin{aligned} \overset{\circ}{A}_E &= \overset{\circ}{A}_1 \overset{\circ}{A}_2 = \overset{\circ}{A}_1 T_2(x, a_2) = \begin{pmatrix} C_{13} - S_{13} & q_2 C_1 + a_2 C_{13} \\ S_{13} C_{13} & q_2 S_1 + a_2 S_{13} \\ 0 & 1 \end{pmatrix} \\ &= \overset{\circ}{A}_2 \overset{\circ}{A}_E = \overset{\circ}{A}_2 T_2(x, +a_2) R(\pi) = \begin{pmatrix} -C_{45} & S_{45} & D + d_2 C_5 + a_2 C_{45} \\ -S_{45} & -C_{45} & d_2 S_5 + a_2 S_{45} \\ 0 & 0 & 1 \end{pmatrix} \end{aligned}$$

Cinematica diretta in forma compatta, nominale (cioè $q = q_S$):

$$\left\{ \begin{array}{l} \theta = q_1 + q_3 \\ x = q_2 C_1 + a_1 C_{13} \\ y = q_2 S_1 + a_1 S_{13} \end{array} \right. \quad \text{e} \quad \left\{ \begin{array}{l} \theta = +q_4 + q_5 + \pi \\ x = D + d_2 C_5 + a_2 C_{45} \\ y = d_2 S_5 + a_2 S_{45} \end{array} \right.$$

Le tre eq. redundanti diventano vincoli:

$$q_1 + q_3 - q_4 - q_5 - \pi = 0$$

$$\triangleq V_1(q)$$

$$q_2 C_1 + a_1 C_{13} - D - d_2 C_5 - q_2 C_{45} = 0 \triangleq V_2(q)$$

Osserva:
n° giunti -

$$q_2 S_1 + a_1 S_{13} - d_2 S_5 - q_2 S_{45} = 0 \triangleq V_3(q)$$

n° vincoli =

n° conf.

5

$\frac{3}{2}$

La cinematica inversa è semplice:

$$\theta = q_1 + q_3 \Rightarrow$$

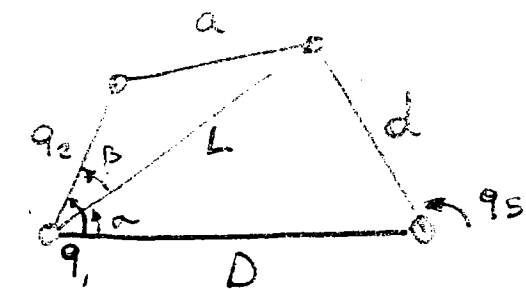
$$\theta - \pi = q_4 + q_5 \Rightarrow$$

$$\left\{ \begin{array}{l} q_2^2 = (x - a_1 C_\theta)^2 + (y - a_1 S_\theta)^2 \\ q_1 = \arctan 2(y - a_1 S_\theta, x - a_1 C_\theta) \end{array} \right.$$

$$\left\{ \begin{array}{l} q_5 = \arctan 2(y + a_2 S_\theta, x - D - a_2 C_\theta) \\ q_4 = \theta - q_5 - \pi \end{array} \right.$$

$$\left\{ \begin{array}{l} q_3 = \theta - q_1 \\ \end{array} \right.$$

• Forme di bloccaggio meccanico:

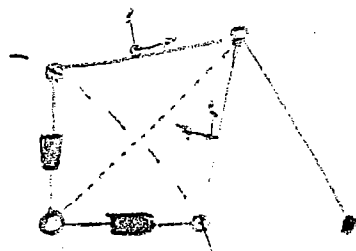


$$\begin{aligned} L^2 &= D^2 + d^2 - 2Dd \cos(\pi - q_2) \\ &= D^2 + d^2 + 2Dd \cos q_2 \end{aligned}$$

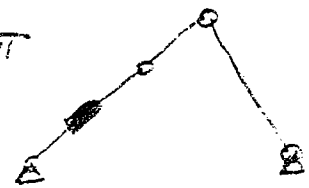
$$q_2 = \alpha + \beta$$

$$\left. \begin{aligned} \frac{d}{S_2} &= \frac{L}{S_S} \Rightarrow S_2 = \frac{L}{L} S_S \\ \frac{a}{S_\beta} &= \frac{L}{S_3} \Rightarrow S_\beta = \frac{a}{L} S_3 \end{aligned} \right\} \begin{array}{l} \text{Infine, trovate } q_2 \in q_3 \\ q_3 \in x, y, \theta \text{ deponendo} \\ \text{facilmente} \end{array}$$

E' osservabile che, per un generico valore di q_S , esistono 2 possibili determinazioni di q_2 e quindi X :



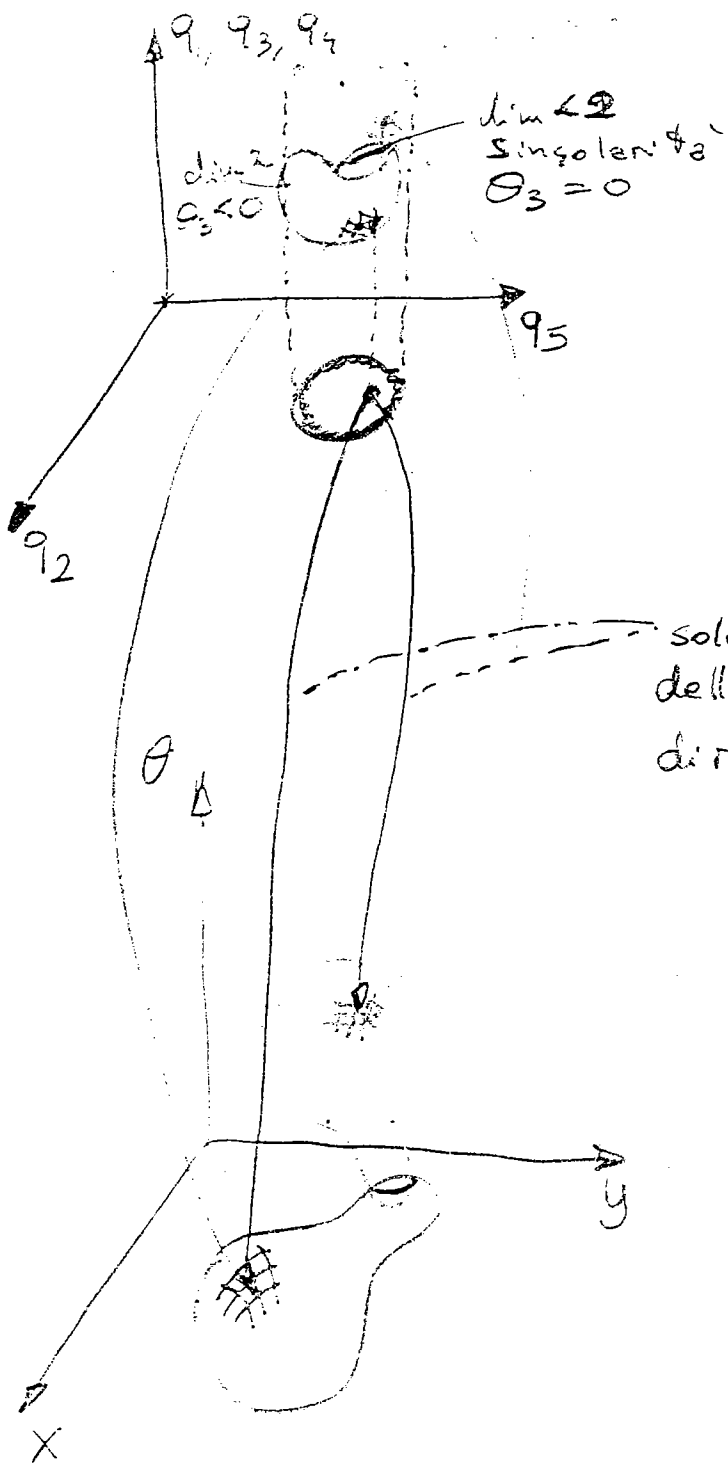
I due valori vengono a coincidere per $q_2^2 + a^2 = D^2 + d^2 + 2Dd \cos q_3$
cioè $q_3 = 0 + k\pi$



Naturalmente, soluzioni per la cinematica diretta così semplici si ottengono solo per meccanismi altrettanto semplici.

Aci casi generali, sono necessari strumenti di calcolo automatico - di quelli comunque è sempre necessaria una supervisione diretta dell'ingegnere.

E' tipico la sostituzione $t_i = \tan q_i/2$, mediante la quale i vincoli sono trasformati in sistemi di equazioni polinomiali, per le quali esistono alcune tecniche numeriche simboliche esiste. Allo stato dell'arte, con cui si esegue il calcolo, il problema della cinematica diretta è difficilissimo.



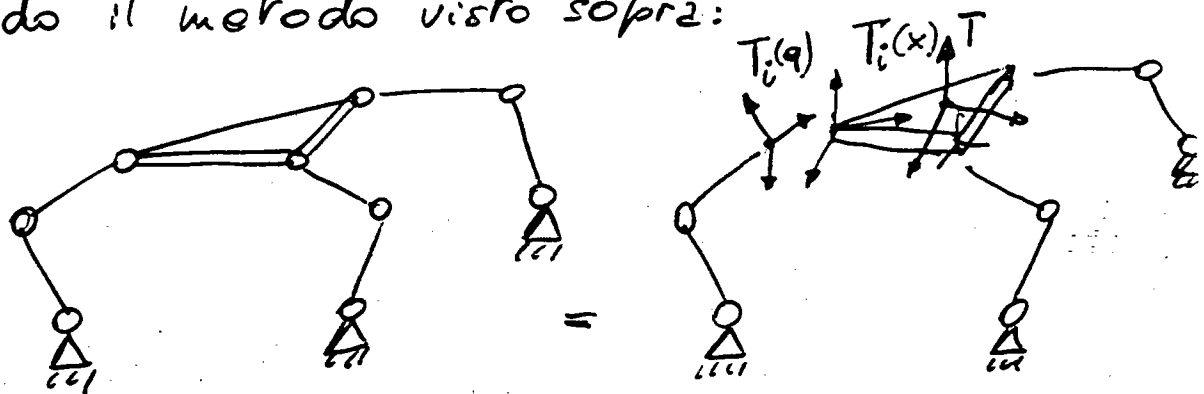
Si può rendere
una descrizione
grafica delle soluzio-
ni del manipolatore
parallelo "RRRRR"
nei termini in figur

Si noti che, al di fuori delle singolarità, soluzioni
che appartengono ad una delle due varietà rimangono
sulla stessa varietà per "piccole" variazioni di q_5
 \Rightarrow si può discutere la cinematica diretta se si cono-
sce il valore iniziale di x, y, θ

Questo vale facilmente, ma non evita: se le configo-
razioni q_5 raggiungono la singolarità, il sistema ha-
rà un'aria difficile.

Cinematica delle catene chiuse

Consideriamo di nuovo un sistema in catena chiusa scomposto secondo il metodo visto sopra:



La velocità generalizzata (twist) di ogni terna $T_i(q)$ di gamba può essere scritta agevolmente derivando il Jacobiano geometrico della gamba stessa:

$$\dot{t}_i^{(q)} = J_i(q) \dot{q}$$

La velocità generalizzata dell'erna $T_i(x)$ la si ottiene in termini delle velocità gener. delle terna di E-E T_E , usando le relazioni tra twist dello stesso corpo risiede

$$\dot{t}_i^{(x)} = \begin{pmatrix} I & -\hat{\rho}_i \\ 0 & I \end{pmatrix} t_E \triangleq B_i t_E$$

dove $\hat{\rho}_i$ è il vettore che unisce l'origine di T_E all'origine di T_i .

Le due relazioni, riscritte per ogni coppia di riferimenti e opportunamente impilate, divencono

$$t(q) \triangleq \begin{pmatrix} t_1(q) \\ t_2(q) \\ \vdots \\ t_N(q) \end{pmatrix} = \begin{pmatrix} J_1 \\ J_2 \\ \vdots \\ J_N \end{pmatrix} \dot{q} \triangleq J \dot{q} \quad t(x) \triangleq \begin{pmatrix} t_1(x) \\ t_2(x) \\ \vdots \\ t_N(x) \end{pmatrix} = \begin{pmatrix} B_1 \\ B_2 \\ \vdots \\ B_N \end{pmatrix} t_E \triangleq B t_E$$

Per quanto riguarda i bilanci statici delle forze generalizzate (wrench), si ha ovviamente per i bracci $\Sigma = \sum_{i=1}^N J_i^T w_i$, dove w_i è la forza/coppia applicata nell'origine di $T_i(q) \Rightarrow \Sigma = \delta^T w$, $w \triangleq \begin{pmatrix} w_1 \\ w_2 \\ \vdots \\ w_N \end{pmatrix}$

Per quanto riguarda l'equilibrio dell'end effector, si ha che il wrench w_E applicato alla terna T_E è bilanciato dalle forze/coppe w_i applicate in T_i attraverso la relazione

$$w_E = \sum_{i=1}^N \begin{pmatrix} I & 0 \\ E\hat{P}_i & I \end{pmatrix} w_i \triangleq \sum_{i=1}^N g_i w_i$$

$$= (g_1 \ g_2 \ \dots \ g_N) w \triangleq Gw$$

La matrice G è nota nella letteratura sulla presa di mani per robot come matrice di grasp. Per dualità, vale ovviamente $G^T = B$.

I vincoli sui moti relativi delle terne $T_i(x)$ e $T_i(q)$ si riflette in vincoli cinematici imponendo l'ugualanza delle offerte componenti delle velocità generalizzate. Useremo la notazione F_i per una matrice la cui immagine coincide col sottospazio delle velocità generalizzate formate dai vincoli i -esimo. Esempi

Giunto rotoidale di asse \hat{a} : $F = \begin{pmatrix} 0 \\ \hat{a} \end{pmatrix} \in \mathbb{R}^{6 \times 1}$

Giunto prismatico " " " : $F = \begin{pmatrix} \hat{a} \\ 0 \end{pmatrix} \in \mathbb{R}^{6 \times 1}$

Giunto sferico : $F = \begin{pmatrix} \phi \\ I_3 \end{pmatrix} \in \mathbb{R}^{6 \times 3}$

Accoppiamento rigido : $F = \emptyset \in \mathbb{R}^{6 \times 1}$

Le direzioni di moto vincolate sono rappresentabili attraverso matrici di vincolo H_i tali che $\text{cl}(H_i) = \mathbb{Q}(F_i)$. I vincoli in velocità sono quindi scritti nella forma

$$\underbrace{t_i(q) - t_i(x)}_{\text{vel. relativa}} \in \underbrace{\mathbb{Q}(F_i)}_{\text{vel. permesse}}$$



$$t_i(q) - t_i(x) \in \text{cl}(H_i) \Rightarrow H_i(t_i(q) - t_i(x)) = 0$$

$$\Rightarrow H_i(\mathcal{J}_i \dot{q} - g_i^T t_E) = 0$$

Riscrivendo la relazione per tutti i vincoli, raccogliendo a destra \dot{q} e t_E , e imponendo opportunamente si ottiene

$$\begin{bmatrix} H\mathcal{J} & -HG^T \end{bmatrix} \begin{pmatrix} \dot{q} \\ t_E \end{pmatrix} = 0$$

che significa che i soli moti del sistema compatibili con i vincoli sono dati da velocità dei giunti \dot{q} e dell'end effector t_E che stanno nel kernel della matrice sopra scritta.

Operando una scomposizione del vettore delle velocità dei giunti in corrispondenza a giunti attuati e non, cioè

$$\begin{pmatrix} \dot{q}_A \\ \dot{q}_{\bar{A}} \end{pmatrix} = \begin{pmatrix} S_A \\ S_{\bar{A}} \end{pmatrix} \dot{q}, \text{ questa equazione può essere riscritta}$$

$$\text{nella forma } \begin{bmatrix} H\mathcal{J}_A & H\mathcal{J}_{\bar{A}} & -HG^T \end{bmatrix} \begin{pmatrix} \dot{q}_A \\ \dot{q}_{\bar{A}} \\ t_E \end{pmatrix} = 0$$

dove si è posto

$$(\mathcal{J}_A : \mathcal{J}_{\bar{A}}) = \mathcal{J} \begin{pmatrix} S_A \\ S_{\bar{A}} \end{pmatrix}^{-1}$$

L'equazione cinemistica dei vincoli ha 2 forme

$A(\phi)\dot{\phi} = 0$, con ϕ vettore di configurazione. Tutte le velocità ammissibili possono essere caratterizzate come combinazioni lineari, con coefficienti λ arbitrari; delle colonne di una matrice di base $N(\phi)$ per il $dN(A)$

$$A(\phi)\dot{\phi} = 0 \iff \dot{\phi} = N(\phi)\lambda, \text{ se } AN = 0 \text{ e } \ker(N) = \{0\}$$

Si definiscono "gradi di libertà" i coeff. λ .
Vel caso specifico, una matrice di base per $[H_A \ H_{\bar{A}} \ -HG^T]$

avrà in generale una struttura di questo tipo: $\begin{pmatrix} \dot{q}_A \\ \dot{q}_{\bar{A}} \\ t_E \end{pmatrix} = \begin{pmatrix} N_{AR} & \emptyset & N_{AC} \\ N_{\bar{AR}} & \emptyset & N_{\bar{AC}} \\ \emptyset & N_{EL} & N_{EC} \end{pmatrix} \begin{pmatrix} \lambda_R \\ \lambda_L \\ \lambda_C \end{pmatrix}$

ove (N_{AR}) è una base del nullo di $(H_A \ H_{\bar{A}})$, e rappresenta moti dei giunti che lasciano fermo l'end-eff.

N_{EL} è una base di $dN(HG^T)$ e rappresenta i moti possibili per l'e-e. quando i giunti siano bloccati; mentre $N_{AC}, N_{\bar{AC}}$ rappresentano i moti dei giunti attuati, non attuati e dall'end-effector che si ottengono coordinatamente.

R sta per Ridondanti; L per Liberi; C per Coordinati
L'analisi può essere spinta ancora di più nel dettaglio, suddividendo le basi in basi di sottospazi nulli di tutti i blocchi:

$$\begin{pmatrix} \dot{q}_A \\ \dot{q}_{\bar{A}} \\ t_E \end{pmatrix} = \left(\begin{array}{c|c|c|c|c|c} N & 0 & N & 0 & N & 0 & N \\ 0 & N & N & 0 & 0 & N & N \\ 0 & 0 & 0 & N & N & N & N \end{array} \right) \lambda$$

- I : Colonna: Ridond. attuati - fermi non attuati ed end-effector;
- II : Ridond. passivi - es. Stewart Platform;
- III : Ridond. combinate A, \bar{A} ;
- IV : Moti Libere E-E (indesiderabile)
- V : Coord. che lasciano fermi i passivi;
- VI : Moti Liberi E-E + \bar{A} (indesiderabile)
- VII : Moti coordinati di tutti i giunti (Tipico)

Consideriamo il caso di:



$$\begin{cases} \mathbf{w}_E = \mathbf{G}^T \tilde{\mathbf{w}} \\ \mathbf{z} = \mathbf{J}^T \mathbf{H}^T \tilde{\mathbf{w}} \end{cases}$$

$\mathbf{w} = \mathbf{G}^T \tilde{\mathbf{w}}$
dove $\mathbf{H}^T \tilde{\mathbf{w}}$ è
la combinazione
di \mathbf{w} effetti
scambiati
vincoli.

Sarà così equivalente in \mathbf{w} :

$$\begin{pmatrix} \mathbf{w}_E \\ \mathbf{z} \end{pmatrix} = \begin{pmatrix} \mathbf{G}^T \\ \mathbf{J}^T \mathbf{H}^T \end{pmatrix} \tilde{\mathbf{w}} \triangleq \mathbf{A}^T \tilde{\mathbf{w}}$$

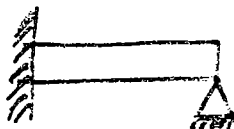
Apponendo vincoli lisci, le forze vincolari
si fanno lavoro - sono complementari - sui
moti liberi $\Rightarrow \mathbf{w}_E \in \text{cl}(H) = Q(H^T)$.

Se $N(A^T) = \{\emptyset\}$, allora det: $w_E \in \mathcal{E}$, $\subseteq \mathbb{F}_W$, questo è unico.
Se questo non è verificato, allora è impossibile determinare,
a partire dal carico applicato sul manipolatore ($\mathbf{w}_E, \mathcal{E}$),
quali forze generali si scommano i suoi membri.

Il sistema si dice staticamente indeterminato, o anche
iperstatico, quindi, se $N(A^T) \neq \{\emptyset\}$.

Si osserva che $N(A^T) = Q^T(A) = Q^T(H\mathcal{E} - HG^T)$: si ha
iperstaticità se esistono vincoli non indipendenti nel
sistema!

e.g.



Si può facilmente tenere conto di simili effetti e non:

$$\begin{aligned} \mathbf{w}_E &= \mathbf{G}^T \tilde{\mathbf{w}} \\ \mathbf{z}_A &= \mathbf{J}_A^T \mathbf{H}^T \tilde{\mathbf{w}} \\ \mathbf{z}_{\bar{A}} &= \mathbf{J}_{\bar{A}}^T \mathbf{H}^T \tilde{\mathbf{w}} = 0 \end{aligned}$$

Avevamo discusso l'unicità, vediamo
ora l'esistenza di soluzioni.

È soluzione $\tilde{\mathbf{w}}$ per la prima equaz.

solo se $\mathbf{w}_E \in Q(\mathbf{G}^T)$; viceversa, se $\mathbf{w}_E \notin Q(\mathbf{G}^T)$, non si può
essere equilibrio. Tipicamente, si progettano i manipolatori
in modo da avere $Q^T(\mathbf{G}^T) = N(H\mathcal{E}) = \{\emptyset\}$, cioè senza
permettere moti liberi dell'end-effector.

Se questo vale, allora tutte le soluzioni della prima equazione
sono del tipo $\tilde{\mathbf{w}} = (\mathbf{G}^T)^{-1} \mathbf{w}_E + \mathbf{F}_W$ con $(\mathbf{G}^T)(\mathbf{G}^T)^{-1} = \mathbf{I}$
 $= P_L \perp \text{ a } N(H\mathcal{E})$

$$\text{alla sol. } \mathbf{W} = (\mathbf{G}\mathbf{H}^T)^\dagger \mathbf{W}_E + \mathbf{P}\mathbf{y}$$

il primo termine è una soluzione particolare, mentre il secondo la soluzione omogenea, parametrizzata dal vettore di coefficienti \mathbf{y} . La sol. omogenea rappresenta forze interne applicate dalle "gambe" all'end-effector, che così riflettevano in alcuna azione risultante sull'extremo. Le forze interne sono importanti ad esempio in problemi di manipolazione, dove possono essere usate per intensificare le forze di contatto ed accrescere le forze di attrito, senza influenzare l'equilibrio dell'oggetto manipolato.

Le coppie ai giunti che possono soddisfare l'eq. di equilibrio sono date da $\mathbf{Z}_A = \mathbf{J}_A^T \mathbf{H}^T (\mathbf{G}\mathbf{H}^T)^R \mathbf{W}_E + \mathbf{J}_A^T \mathbf{H}^T (\mathbf{P}) \mathbf{y}$

da cui si vede come, per una data vettore esterna \mathbf{W}_E , esistano una infinità di possibili coppie ai giunti di ordine pari alla dimensione dello spazio delle forze interne ($\text{dim}(\mathbf{G}\mathbf{H}^T)$), meno il numero di condizioni che conseguono dall'imposto $\mathbf{Z}_{\bar{A}} = \mathbf{J}_{\bar{A}}^T \mathbf{H}^T (\mathbf{G}\mathbf{H}^T)^R \mathbf{W}_{\bar{E}} + \mathbf{J}_{\bar{A}}^T \mathbf{H}^T \mathbf{P} \mathbf{y} = \emptyset$